DOI:10.13873/J.1000-9787(2023)05-0049-04

变压器参数对电容式位移传感器影响的研究*

刘 鑫, 汪龙祺, 于 涛, 隋延林, 陈泳锟, 陈禹竺 (中国科学院长春光学精密机械与物理研究所, 吉林 长春 130033)

摘 要:在已有传感电桥电路的数学模型和噪声模型的基础上,针对变压器参数对应用于空间引力波探测的电容式位移传感器的影响进行研究。仿真分析表明,采用品质因数为 197、电感值为 4.4 mH 的变压器 1 和品质因数为 395、电感值为 4.37 mH 的变压器 2 时,电桥等效输出阻抗相差约 0.5 倍,输出电压噪声相差约 1.4 倍。在此基础上,使用 2 种变压器进行实验。在 $0.1\,\text{Hz}$ 频点处对电路输出电压噪声和电容传感噪声进行了测量,电路输出电压噪声分别约为 29,24.7 $\mu V/\sqrt{\text{Hz}}$,电容传感噪声分别约为 $1.1,0.95\,\text{aF}/\sqrt{\text{Hz}}$ 。电感值相近时,采用品质因数较高的变压器 2 时,电路输出电压噪声更低,电容传感噪声更低。该测试结果为后续实验中提升传感器系统性能提供研究方向。

关键词: 传感器; 变压器; 低频测量; 噪声分析; 调谐

中图分类号: TP212 文献标识码: A 文章编号: 1000-9787(2023)05-0049-04

Study on influence of transformer parameters on capacitive displacement sensor*

LIU Xin, WANG Longqi, YU Tao, SUI Yanlin, CHEN Yongkun, CHEN Yuzhu (Changchun Institute of Optics, Fine Mechanics and Physics (CIOMP), Chinese Academy of Sciences, Changchun 130033, China)

Abstract: On the basis of mathematical model and noise model of the existing bridge circuit, the influence of transformer parameters on capacitive displacement sensor used for space gravitational wave detection is studied. The simulation analysis shows that when transformer 1 with quality factor of 197 and inductance value of 4.4mH and transformer 2 with quality factor of 395 and inductance value of 4.37 mH are used, the difference of equivalent output impedance of the bridge is about 0.5 times, and the difference of output voltage noise is 1.4 times. On this basis, two transformers are used for the experiment. The output voltage noise and capacitive sensing noise of the circuit are measured at the frequency point of 0.1 Hz, the circuit output noise is 29 and 24.7 $\mu V/\sqrt{Hz}$, and the capacitive sensing noise is 1.1 and 0.95 aF/ \sqrt{Hz} . When the inductance value is similar, transformer 2 with higher quality factor is used, the circuit output voltage noise is lower, and the capacitive sensing noise is lower. The test results provide a research direction for improving the performance of sensor system in subsequent experiments.

Keywords: sensor; transformer; low frequency measurement; noise analysis; tuning

0 引 言

传感电桥电路是电容式位移传感器的关键组成部分,传感器应用在微位移检测电路中,将微小位移变化转换为电容变化,并进行精确测量^[1,2]。杨超等人^[1]选用高精度、高分辨率电容式位移传感器作为扭摆角位移传感装置。陈炳贤等人^[2]针对加速度计前端差动电容检测的需求,给出了一种基于电容桥的差动电容检测方法。曹志广等人^[3]研究了一种基于微分运算原理测量微小电容式传感器的电路系统。贺晓霞等人^[4]设计了基于差动电容的位移检测

电路,建立了电容检测电路的数学模型,并对电路误差源进行了系统分析。黄昱等人^[5]为了估计差分电容测量电路中的噪声影响,建立了电路的噪声模型,得出了电路的等效加速度噪声公式。任臣等人^[6]为提高电容式传感器专用集成电路的检测精度,设计了一种三级运算放大器电路,噪声水平为 0.21 μV//Hz。高诗梦等人^[7]提出电容检测电路的噪声水平直接影响加速度计的分辨率,变压器桥路输出阻抗越大,电容检测电路输出噪声越小。Hu M 等人^[8]分析谐振频率和激励信号频率对输出电压噪声的影响,并提

收稿日期:2023-03-21

^{*}基金项目:国家重点研发计划资助项目(2020YFC2200604);中国科学院对外合作重点项目(181722KYSB20190040)

出一种谐振频率预扫描方法,根据结果调整调谐电容,使电路工作在谐振频率处,以抑制输出电压噪声。Mance D^[9]介绍了 LISA 惯性传感器传感与驱动电子系统的研制,分析并详细推导了跨阻放大器(trans-impedance amplifier,TIA)噪声源和放大器的噪声增益,将变压器桥替换为等效电阻,进行电路噪声测试分析。Xie Y F 等人^[10]对电路的传递函数和电容测量噪声进行了建模和分析,给出电感和变压器品质因数的乘积图,优化变压器和电路的电容传感分辨率。Gan L^[11,12]分析惯性传感器前端电子学驱动对传感串扰的影响,并通过对电容的选型,使串扰水平远低于规定的限制,建立变压器和 TIA 的详细数学模型,并以该模型为基础提出了一种对称性调整方法,能降低不对称性。Li Z 等人^[13]对电容式传感器的噪声进行了分析,提出了一种产生低噪声载波的新方法。

本文介绍谐振电容电桥的工作原理,分析了传感电桥 模块和 TIA 的噪声模型及变压器参数对噪声性能的影响因 素,通过实验对 2 种变压器在电路中的性能进行测试,测量 输出电压噪声和电容传感噪声,最后对结果进行分析。

1 电容式位移传感器工作原理

电容式位移传感器组成如图 1 所示,包括测试质量(TM)及检测电极板、包含变压器的传感电桥电路、TIA模块、交流放大模块、带通滤波模块、解调模块和数据采集模块[12]。

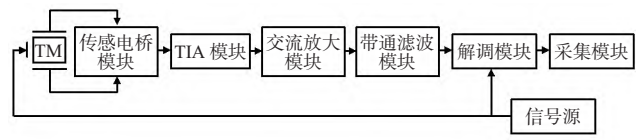


图1 电容式位移传感器原理

传感电桥和 TIA 模块示意如图 2 所示[12]。

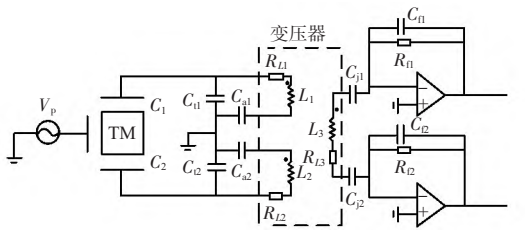


图 2 传感电桥和 TIA 模块示意

其中, V_p 为正弦激励信号。TM 与传感器的 2 个电极 板构成电容 C_1 和电容 C_2 ,当 TM 与两极板之间的距离相同时,两侧电容大小相等,即 $C_1=C_2=C_0$,其中 C_0 为标称电容。当 TM 沿两电极板方向平行移动时,会产生电容差 ΔC ($\Delta C=C_1-C_2$),该容差信号经过正弦激励信号调制后,调制信号通过交流放大模块进行放大,通过带通滤波模块滤除激励信号频率外的噪声,再通过与激励信号同源的解调信号进行解调,得到电压信号,最后由采集模块采集输出电压值。

TM 在两平行电极板之间平行移动时,会在两极板间产生电容差,使传感电桥不平衡,即变压器的 2 个初级绕组内的电流不平衡。这种电流不平衡在变压器的次级绕组上产生差动电流,该电流与传感电路的增益和 TM 相对于两电极板中心的位移成正比。TIA 将电流信号转换为电压信号并进行放大。

 C_{11} 和 C_{12} 为调谐电容,通过调整调谐电容值大小,使电路工作在谐振频率处,以减小噪声^[14]。 C_{21} 和 C_{22} 为驱动电容,是其他功能预留电容。 C_{11} 和 C_{22} 为变压器和 TIA 之间的解耦电容。 R_{01} 和 R_{22} 为反馈电阻, R_{01} 和 R_{22} 为反馈电容。

变压器是该电路的重要组成部分,实际变压器存在损耗 $\tan \delta$,假设 $\tan \delta \approx R_L/\omega L \approx \delta = 1/Q$,其中,Q为变压器品质因数,L为变压器电感值。因此实际电感可以为

$$L_{R} = L(1 - i\delta) \tag{1}$$

对于 TIA 模块而言,传感电桥可以被看成是等效电压与等效阻抗串联。包含噪声模型的等效电路如图 3 所示[9]。在图 3 中, U_0 为等效电压, Z_0 为等效阻抗。

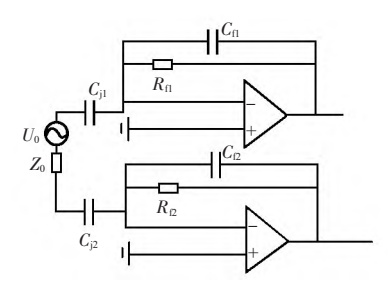


图 3 传感电桥与 TIA 的等效电路

真实传感电桥等效输出阻抗和电压公式如下[9]

$$Z_{BR} = \frac{R_L + j\omega L}{1 + KR_L H j\omega + KLH (j\omega)^2}$$
 (2)

$$U_{\rm BR} = K \frac{C_{\rm a}}{C_{\rm a} + C_{\rm t}} V_{\rm p} \Delta C \times \frac{j\omega R_L + (j\omega)^2 L}{1 + KR_L H j\omega + KLH (j\omega)^2}$$
(3)

其中, C_a = C_{a1} = C_{a2} , C_t = C_{t1} = C_{t2} , C_q = 2 (C_t + C_0) ,H = $C_a C_q / (C_a + C_t)$ 。

谐振频率计算公式如下[9]

$$1 - K\omega^2 L C_q \frac{C_a}{C_a + C_t} (1 + \delta^2) = 0 \tag{4}$$

传感电桥等效阻抗热噪声 e_{BB} 如下 [9]

$$e_{\rm BR} = G_{\rm TIA} \sqrt{4k_{\rm B}TR_{\rm Zpp}} \tag{5}$$

式中 $k_{\rm B}$ 为玻尔兹曼常数, T 为绝对温度, $G_{\rm TIA}=2/\omega C_{\rm FB}$ $|Z_{\rm BR}|$, $R_{Z_{\rm RR}}$ 为 $Z_{\rm BR}$ 实部。

TIA 模块噪声由 3 部分组成,TIA 反馈阻抗实部热噪声 $e_{\rm Zf}$,TIA 电流噪声产生的等效电压噪声 $e_{\rm in}$,TIA 电压噪声 $e^{[8,9]}$

$$e_{\text{TIA}} = \sqrt{(\sqrt{2}e_{\text{TI}})^2 + (\sqrt{2}e_{\text{III}})^2 + (\sqrt{2}e_{\text{III}})^2}$$
 (6)

上式中的因子√2是由于差分跨阻放大电路引入的。

前端电路总输出电压噪声 V. 如下

$$V_{\rm n} = \sqrt{e_{\rm TIA}^2 + e_{\rm BR}^2} \tag{7}$$

2 变压器参数影响分析

变压器参数影响电路谐振频率、电桥电路的等效输出 阻抗及输出电压噪声。变压器和其对应的电桥参数如表 1 所示。

表 1 变压器和其对应的电桥参数

参数名称	变压器 1	变压器 2
电感/mH	4.4	4.37
品质因数	197	395
耦合系数	0.97	0.97
调谐电容/pF	304.68	306.85
等效电容/pF	611.56	615.9

除表 1 中所描述参数外, 标称电容 C_0 为 $1.1\,\mathrm{pF}$, 驱动电容为 $10\,\mathrm{nF}$, 解耦电容为 $22\,\mathrm{nF}$, TIA 反馈电容 $3.3\,\mathrm{pF}$, TIA 反馈电阻为 $10\,\mathrm{M}\Omega$, 输出电压噪声密度 e_n 为 $14\,\mathrm{nV}/\sqrt{\mathrm{Hz}}$, 输入电流噪声密度 i_n 为 $1.8\,\mathrm{fA}/\sqrt{\mathrm{Hz}}$, 激励信号频率 f 为 $100\,\mathrm{kHz}$, 激励信号幅值 V_p 为 $0.6\,\mathrm{Vp}$, k_B 为 $1.380\,649\times10^{-23}\,\mathrm{J/K}$, T 为 $298.15\,\mathrm{K}$ 。

谐振频率会影响输出电压噪声,因此在比较两变压器对电路的影响时,需要先调节调谐电容,将电路调整至谐振频率100 kHz处,以降低电路输出电压噪声^[15]。影响谐振频率的因素,除调谐电容外,还包括变压器电感值,针对不同电感值变压器,需要调节谐振电容大小,以保证谐振频率在目标频率处,降低输出电压噪声。

实际变压器桥输出阻抗实部表达式如下[9]

$$R_{Z_{\rm BR}} = \frac{R_L}{1 - \omega^2 K L H (2 - \omega^2 K L H (1 + (R_L / \omega L)^2))}$$
 (8)

从式(8)中可见,变压器电感值和品质因数均会影响输出阻抗大小。

对参数不同的 2 种变压器,变压器 1 和变压器 2 对应的电桥电路等效输出阻抗进行仿真分析,变压器桥输出阻抗随频率变化曲线如图 4 所示。在 $100~\rm kHz$ 频率处,两变压器的电桥等效阻抗均达到最大值,分别为 $544.6~\rm k\Omega$ 和 $1085~\rm k\Omega$,相差较大。偏离 $100~\rm kHz$ 频率时,阻抗会迅速下降。

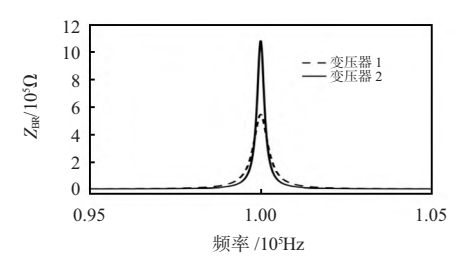


图 4 不同变压器电桥输出阻抗

TIA 反馈阻抗实部热噪声和 TIA 电压噪声中均包含

Z_{BR}项,即二者均受变压器参数影响。因此采用不同参数变压器时,会对电路输出电压噪声产生影响。使用变压器 1 和变压器 2 时,电桥和 TIA 模块输出电压噪声大小如图 5 所示。在 100 kHz 频率处,变压器 1 的输出电压噪声为 179.8 nV/√Hz;变压器 2 的输出电压噪声为 129.2 nV/√Hz。变压器 2 的输出电压噪声更低。且噪声曲线形状有差别,变化相同频率,变压器 1 噪声变化量大于变压器 2 噪声变化量。

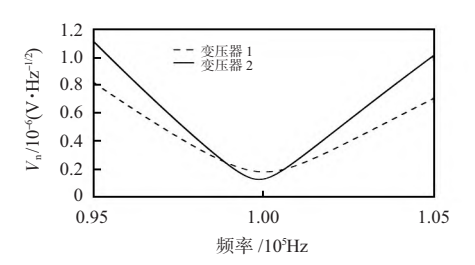


图 5 不同变压器对应的输出噪声

3 实验结果

更换不同变压器,分别在无激励信号条件下和施加 0.6 Vp,100 kHz 激励信号条件下,测试使用不同参数变压器 时,电路输出电压噪声及电容传感噪声。

1)使用变压器 1 时:无激励信号条件下,电路输出电压噪声和电容传感噪声结果如图 6(a) 和图 6(b) 所示,在 0.1 Hz频点处,噪声约 $27 \mu V / \sqrt{Hz}$,电容传感噪声约 $1 aF / \sqrt{Hz}$;正弦激励信号条件下,在 0.1 Hz 频点处,噪声约 $29 \mu V / \sqrt{Hz}$,电容传感噪声约 $1.1 aF / \sqrt{Hz}$ 。

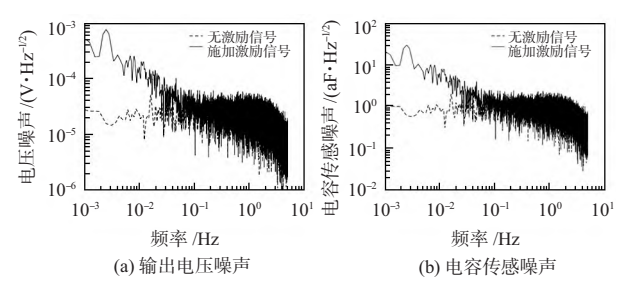


图 6 变压器 1 电路的输出电压噪声和电容传感噪声

2)使用变压器 2 时: 无激励信号条件下, 电路输出电压噪声和电容传感噪声结果如图 7(a)、图 7(b) 所示, 在 0.1 Hz频点处, 噪声约 $20 \mu V / \sqrt{Hz}$, 电容传感噪声约 0.8 aF/ \sqrt{Hz} ; 正弦激励信号条件下, 在 0.1 Hz 频点处, 电压噪声约 $24.7 \mu V / \sqrt{Hz}$, 电容传感噪声约 0.95 aF/ \sqrt{Hz} 。

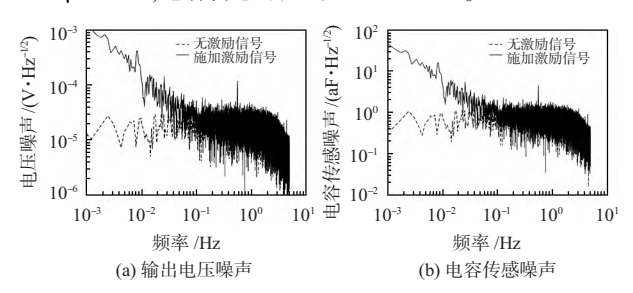


图 7 变压器 2 电路的输出电压噪声和电容传感噪声

4 结 论

对于同一变压器,施加激励信号后与无激励信号相比, 0.1 Hz 以下频段,输出电压噪声升高,电容传感噪声升高。对于不同变压器,施加激励信号时,使用变压器1时,电路输出噪声约29μV//Hz,电容输出噪声约1.1 aF//Hz,使用变压器2时,电路输出噪声约24.7μV//Hz,电容传感噪声约0.95 aF//Hz。使用变压器2时,噪声更低,电路性能更好。参考文献:

[1] 杨超,贺建武,康琦,等. 亚微牛级推力测量系统设计及实验研究[J]. 中国光学,2019,12(3):526-534.

YANG Chao, HE Jianwu, KANG Qi, et al. Design and experimental study of sub-micro-scale thrust measurement systems[J]. Chi-

nese Optics, 2019, 12(3):526-534.

- [2] 陈炳贤,宋来亮,张春熹. 基于电容桥的差动电容检测方法[J]. 传感器与微系统,2019,38(12):116-119.

 CHEN Bingxian, SONG Lailiang, ZHANG Chunxi. Differential capacitance detection method based on capacitance bridge [J].

 Transducer and Microsystem Technologies,2019,38(12):116-119.
- [3] 曹志广,李冬梅,代雁冰,等. 微小电容式传感器测量系统设计[J]. 计量与测试技术,2020,47(6):1-4,8.

 CAO Zhiguang, LI Dongmei, DAI Yanbing, et al. Design of measurement circuit system for micro-capacitance sensor[J]. Metrology & Measurement Technique,2020,47(6):1-4,8.
- [4] 贺晓霞,郑峥嵘,韩丰田,等. 地面静电加速度计的位移检测电路设计[J]. 导航与控制,2020,19(3):40-50,77.

 HE Xiaoxia, ZHENG Zhengrong, HAN Fengtian, et al. Design of displacement detection circuit for electrostatically suspended accelerometer in full earth gravity [J]. Navigation and Control, 2020,19(3):40-50,77.
- [5] 黄昱,王绥亮,刘强,等. 加速度计充放电式差分电容测量电路噪声模型[J]. 传感器与微系统,2019,38(6):53-55,58. HUANG Yu, WANG Suiliang, LIU Qiang, et al. Noise model for accelerometer charging/discharging differential capacitance measurement circuit[J]. Transducer and Microsystem Technologies, 2019,38(6):53-55,58.
- [6] 任臣,杨拥军. 一种用于高精度电容传感器电路的三级运算放大器[J]. 半导体技术,2022,47(4):325-331.

 REN Chen, YANG Yongjun. A Three-stage operational amplifier for high precision capacitance sensor circuit[J]. Semiconductor

Technology, 2022, 47(4):325-331.

- [7] 高诗梦, 王鹢, 李云鹏. 静电悬浮加速度计电容检测电路变压器桥路设计[J]. 真空与低温,2017,23(5):297-300.
 GAO Shimeng, WANG Yi, LI Yunpeng. The design of transformer bridge on capacitance detection circuit of electrostatic levitation accelerometer[J]. Vacuum and Cryogenics, 2017, 23(5):297-300.
- [8] HU M, BAI Y Z, ZHOU Z B, et al. Resonant frequency detection and adjustment method for a capacitive transducer with differential transformer bridge [J]. Review of Scientific Instruments, 2014, 85(5):055001.
- [9] MANCE D. Development of electronic system for sensing and actuation of test mass of the inertial sensor LISA[D]. Fakultet Elektrotehnike, Strojarstva I Brodogradnje, Sveučilište u Splitu, 2012.
- [10] XIE Y, FAN J, ZHAO C, et al. Modeling and analysis of the noise performance of the capacitive sensing circuit with a differential transformer [J]. Micromachines, 2019, 10(5):325-335.
- [11] GAN L, MANCE D, ZWEIFEL P. Actuation to sensing crosstalk investigation in the inertial sensor front-end electronics of the laser interferometer space antenna pathfinder satellite [J]. Sensors and Actuators A: Physical, 2011, 167(2):574-580.
- [12] GAN L, MANCE D, ZWEIFEL P. LTP is FEE sensing channel: Front-end modeling and symmetry adjustment method [J]. IEEE Sensors Journal, 2011, 12(5):1071-1077.
- [13] LI Z,ZHANG X,ZOU S, et al. Design of a carrier wave for capacitive transducer with large dynamic range [J]. Sensors, 2020, 20(4):992-1001.
- [14] BAI Y, ZHOU Z, TU H, et al. Capacitive position measurement for high-precision space inertial sensor [J]. Frontiers of Physics in China, 2009, 4(2):205-208.
- [15] MANCE D, MARASOVIĆ J. EMC in electronic system developed to support measurements in space environment [C]/// Proc of 20th International Conference on Software, Telecommunications and Computer Networks, SoftCOM 2012, IEEE, 2012:1-5.

作者简介:

刘 鑫(1997-),男,硕士,研究实习员,主要从事空间引力波 探测惯性传感器方面的研究工作。

汪龙祺(1978-),男,博士,研究员,主要从事空天遥感,光电 探测及微弱信号检测方面的研究工作。

(上接第48页)

- [11] VEZOCNIK M, KAMNIK R, JURIC M B. Inertial sensor-based step length estimation model by means of principal component analysis[J]. Sensors(Basel),2021,21(10):3527.
- [12] 潘献飞,穆华,胡小平.单兵自主导航技术发展综述[J].导航

定位与授时,2018,5(1):1-11.

作者简介:

刘 杰(1998-),男,硕士研究生,研究方向为行人导航与定位技术。

赵 辉(1992-),男,通讯作者,博士,主要研究方向为高动态导航与控制。